

نخستین همایش آسیایی و نهمین همایش ملی تونل

"فضاهای زیرزمینی برای توسعه پایدار"

۱۰ تا ۱۲ آبان ماه ۱۳۹۰

ATS11-03514

مقایسه حداقل فشار لازم برای نگهداری سینه کار تونل با ماشین حفاری EPB به وسیله روش های تحلیلی - تجربی و عددی

(مطالعه موردنی: خط هفت متروی تهران (قطعه شمالی - جنوبی))

مرتضی کاظمی^۱، علی اصغر لطفی آزاد^۲، محمد رضا بیطرافان^۳

^۱ دانشجوی کارشناسی ارشد، دانشگاه صنعتی شاهرود؛ (morteza_kch@yahoo.com)

^۲ دانشجوی کارشناسی ارشد، دانشگاه صنعتی شاهرود؛ (a.lotfiazad@gmail.com)

^۳ کارشناس ارشد معدن، شرکت مهندسی سپاسد؛ (zare@ntnu.no)

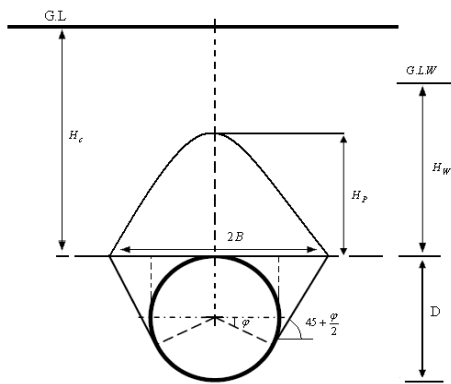
چکیده

برآورد فشار لازم برای نگهداری سینه کار تونل یکی از مهمترین عوامل در راندمان حفاری ماشین EPB در نواحی شهری است. چرا که اعمال فشار کمتر و یا بیشتر از حد تعادلی به سینه کار به ترتیب باعث فرونشست و بالازدگی در سینه کار و سطح زمین می‌شود. در نتیجه باعث توقف در حفاری، نشست سطح زمین و آسیب بر ساختمان‌های اطراف تونل می‌شود. فشار لازم برای پایداری سینه کار تونل به کمک خاک موجود در اتاقک حفاری و مواد افزودنی با کنترل سرعت گردش نقاله مارپیچی صورت می‌گیرد. فشار مناسب برای نگهداری سینه کار با در نظر گرفتن پارامترهای فیزیکی و مکانیکی خاک، ارتفاع روباره، سطح آب زیرزمینی، پارامترهای هندسی تونل و بارهای ترافیکی و سازه‌ای به کمک روش‌های تحلیلی و عددی برآورد می‌شود. در این مقاله به عنوان یک مطالعه موردنی، فشار لازم برای نگهداری سینه کار تونل در خط هفت متروی تهران با روش‌های تحلیلی و عددی محاسبه و مقایسه شده است. نتایج نشان می‌دهد که روش عددی با روش‌های تحلیلی بروبر و جانسکر تطابق خوبی دارد.

کلمات کلیدی

نشست، بالازدگی، روش‌های تحلیلی- تجربی، روش‌های عددی، EPB.

^۱ مرتضی کاظمی؛ شاهرود، دانشگاه صنعتی شاهرود، خوابگاه ۱، هماره: ۰۹۱۱۳۴۱۷۹۴۰، پست الکترونیکی morteza_kch@yahoo.com



شکل (۱): خاک قوسی بالای تونل [۴].

فشار عمودی روی تونل در حالت کلی از رابطه (۱) بدست می‌آید.

$$\sigma_v = \frac{B_1 \cdot \gamma - c}{K_0 \cdot \tan \varphi} \left(1 - e^{-K_0 \cdot \tan \varphi \cdot \frac{H_c}{B_1}} \right) + q_0 \left(e^{-K_0 \cdot \tan \varphi \cdot \frac{H_c}{B_1}} \right) \quad (1)$$

طول سست شدگی در این رابطه از رابطه (۲) بدست می‌آید، که در رابطه (۲) R شعاع تونل است.

$$B_1 = R \left[\tan(45 - \varphi/2) + (\cos(45 - \varphi/2))^{-1} \right] \quad (2)$$

در این رابطه c چسبندگی خاک، K_0 ضریب فشار جانبی خاک که از رابطه $K_0 = 1 - \sin \varphi$ جکی بدست آمد، H_c ارتفاع روباره، D ارتفاع تونل، B_1 نصف عرض یا قطر تونل، B_1 نصف طول سست شدگی H_p ارتفاع قوسی، H_w ارتفاع آب، q_0 بار سطحی، γ وزن مخصوص خاک، φ زاویه اصطکاک داخلی و σ_v فشار عمودی متوسط روی تاج تونل می‌باشد. ارتفاع سست شدگی از تقسیم تنش قائم روی تونل بر وزن مخصوص خاک طبق رابطه (۳) بدست می‌آید.

$$H_p = \sigma_v / \gamma_d \quad (3)$$

فشار جانبی خاک جلوی ماشین حفاری در مرکز تونل در حالتی که تونل بالای سطح آب زیرزمینی حفاری شده از روابط (۴) و (۵) بدست می‌آید. در این رابطه K_a ضریب فشار جانبی خاک در حالت فعال است.

$$\sigma_T = K_a * \gamma_d * (H_p + R) \quad (4)$$

$$K_a = (1 - \sin \varphi) / (1 + \sin \varphi) \quad (5)$$

در حالتی که تونل زیر سطح آب زیرزمینی حفاری شود، ناحیه بالای تونل را به دو بخش خشک و آبدار تقسیم کرده، فشار ناحیه خشک را بدست آورده و به عنوان یک بار ثابت روی قسمت آبدار اعمال می‌کنند. از تقسیم فشار قائم بر وزن مخصوص غوطه‌ور خاک، ارتفاع سست شدگی بدست می‌آید. از مجموع فشار آب و فشار خاک، فشار کل بدست می‌آید [۸].

ماشین فشار تعادلی در ۱۵ سال اخیر برای حفاری فضاهای زیرزمینی در نواحی شهری توسعه داده شده است. دامنه کاربرد ماشین سپر فشار تعادلی با افزایش مواد افزودنی در خاک چسبنده تا خاک‌های دانه‌ای با چسبندگی کم و در زمین‌های غیر همگن دارای سنگ و خاک می‌باشد. تکنولوژی ماشین EPB اساساً مبنی بر استفاده از خاک حفاری شده موجود در اتاقک حفاری برای نگهداری سینه کار است. فشار نگهداری سینه کار به کمک فشار اعمالی بر خاک حفاری موجود در اتاقک حفاری فراهم می‌شود. تنظیم این فشار با سرعت Guglielmetti Et Al, 2007. در این مقاله این فشار به کمک روش‌های تحلیلی- تجربی و عددی قابل برآورد می‌شود.

۲- روش‌های تحلیلی و تجربی

یکی از روش‌های بررسی پایداری ساختار خاک استفاده از روش‌های تحلیلی و تجربی است. به کمک این روش‌ها می‌توان حدود ناپایداری را در ساختار خاک تعیین کرد. روش‌های محاسبه فشار با توجه به شرایط خاک به روش تجربی ترزاقی (خاک چسبنده و غیر چسبنده) و روش‌های تحلیلی آنالیز حدی و تعادل حدی تقسیم‌بندی می‌شوند. روش‌های آنالیز حدی شامل روش برومز و بنمارک (خاک چسبنده و رزکشی نشده)، روش اتکینسون و پاتز (خاک غیر چسبنده برای تونل بدون پوشش)، روش دیویس (خاک چسبنده) و روش لکا و دورمیو (خاک غیر چسبنده) می‌باشند. روش‌های تعادل حدی شامل روش میوریما (خاک چسبنده و غیر چسبنده)، روش کروس (خاک چسبنده و غیر چسبنده)، روش محکم (خاک چسبنده و غیر چسبنده)، روش جانسکر و استاینر (خاک غیر چسبنده و کمی چسبنده)، روش کواری و آنگونستا (خاک غیر چسبنده) و روش برویر (خاک غیر چسبنده) می‌باشند. در این مقاله تنها به تشریح روش‌های ترزاقی، جانسکر و برویر با توجه به شرایط خاک خط هفت متروی تهران و کاربردی بودن این روش‌ها پرداخته می‌شود.

۲-۱- روش تجربی ترزاقی

تئوری ترزاقی برای محاسبه بار روی تونل در خاک‌های چسبنده و غیر چسبنده ارائه شده است. طبق این روش اگر قسمتی از تونه خاک در بالای فضای تونل در حین حفاری به حد تسلیم برسد، خاک ناحیه بالای تونل دچار ریزش شده و در نتیجه توده‌های خاک مجاور نیز تحت تأثیر ناحیه سست شدگی از وضعیت ساکن خود خارج می‌شوند. در نواحی کم عمق سست شدگی به سطح زمین رسیده که اصطلاحاً حالت بدون قوس را تشکیل می‌دهد. در نواحی عمیق، قوسی مطابق شکل (۱) در بالای تونل تشکیل می‌شود. در این حالت توده خاک، بالای قسمت قوسی و بار ثابت روی سطح زمین به عنوان یک بار ثابت روی قسمت قوسی اعمال می‌شود [۷].

$$T = \frac{D^2 \cdot \cot \theta}{2} (c + K_{a3} \cdot \sigma'_v \cdot \tan \varphi) \quad (11)$$

$$\sigma'_v = \sigma'_v + \frac{1}{3} D \cdot \gamma' \quad (12)$$

$$E = -\frac{(\cos \theta \cdot \tan \varphi - \sin \theta) \sum (G_s + G_w) + \sum (2T + K)}{\sin \theta \cdot \tan \varphi + \cos \theta} \quad (13)$$

مقدار ضریب فشار جانبی سه بعدی خاک را می‌توان از روابط (۱۶) تا (۱۸) به دست آورد، همچنین زاویه شکست نیز باستی به گونه‌ای تعیین می‌شود، که فشار خاک حداقل گردد. زاویه شکست از شکل (۳) به دست می‌آید. در جدول (۱) مقادیر دیگری برای ضریب فشار جانبی خاک در سیلو و گوه تعریف شده است. اثر روباره بر روی زاویه شکست گوه برای روباره‌های بزرگتر و مساوی ۲ برابر قطر تونل ($h_0 \geq 2D$) کم می‌شود [۴]. روش سیلو ترازاقی فقط برای روباره‌های بزرگتر از ۲ برابر قطر تونل ($h_0 > 2D$) قابل کاربرد است در غیر اینصورت از روش روباره ($\sigma_v = \gamma \times h$) استفاده می‌شود [۸].

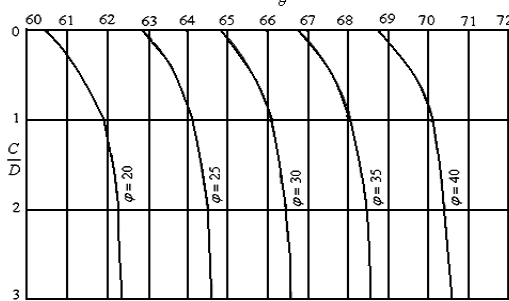
$$S = E + W \quad (14)$$

$$\sigma_T = \frac{4 \cdot S}{\pi \cdot D^2} \quad (15)$$

$$K_{a3} = \frac{\sin \theta \cdot \cos \theta - \cos^2 \theta \cdot \tan \varphi - \frac{K \cdot \alpha}{1.5} \cdot \cos \theta \cdot \tan \varphi}{\cos \theta \cdot \sin \theta + \tan \varphi \cdot \sin^2 \theta} \quad (16)$$

$$K \approx 1 - \sin \varphi + \tan^2 \left(45 - \frac{\varphi}{2} \right) \quad (17)$$

$$\alpha = (1 + 3C/D)/(1 + 2C/D) \quad (18)$$

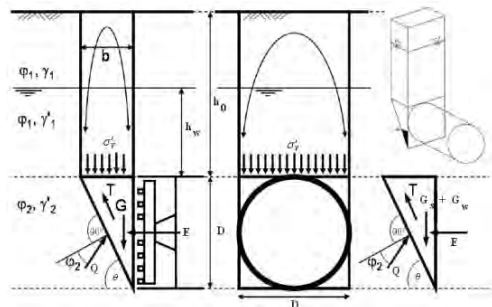


شکل (۳): نمودار زاویه شکست گوه [۴].

در این روابط، G_s وزن سیلو، B عرض گوه برابر ($B = \pi D/4$) که در محاسبات برابر قطر تونل در نظر گرفته می‌شود، D قطر تونل، θ زاویه شکست، G_w وزن گوه، K نیروی چسبندگی، K_{a3} ضریب فشار جانبی سه بعدی خاک، T نیروی برشی خاک، E نیروی مؤثر جانبی خاک، W نیروی آب، S نیروی کل وارد روی سینه‌کار تونل و σ_T تنش کل است.

۲-۲- روش تحلیل سیلو و گوه

این روش بر طبق مدل هورن (۱۹۶۱) به صورت یک شکست سه بعدی که شامل گوه گسیختگی در قسمت پایین و سیلوی خاک در قسمت بالا است و مطابق شکل (۲) ارائه شده است.



شکل (۲): نمایی از چگونگی توزیع بار روی سینه‌کار تونل در روش جانسکر و استاینر [۴].

فشار عمودی وارد از سیلو بر روی گوه بر طبق رابطه ترازاقی در دو حالت بدون آب از رابطه کلی (۶) و در حالتی که دارای آب زیرزمینی است، از رابطه کلی (۷) به دست می‌آید. که در این روابط γ_d وزن مخصوص غوطه‌ور خاک و K_0 ضریب فشار جانبی خاک است که از رابطه $K_0 = 1 - \sin \varphi$ به دست می‌آید.

$$\sigma'_v = \frac{a \cdot \gamma_d - c}{K_0 \cdot \tan \varphi} \left[1 - e^{-\frac{h_0 \cdot K_0 \cdot \tan \varphi}{a}} \right] + q_0 \cdot e^{-\frac{h_0 \cdot K_0 \cdot \tan \varphi}{a}} \quad (6)$$

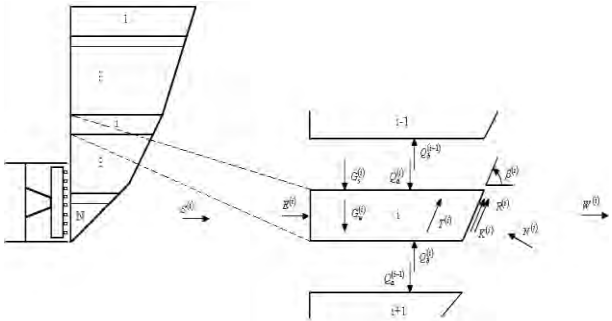
$$\sigma'_v = \frac{a \gamma' - c}{K_0 \cdot \tan \varphi} \left[1 - e^{-\frac{h_w \cdot K_0 \cdot \tan \varphi}{a}} \right] + \frac{a \cdot \gamma_d - c}{K_0 \cdot \tan \varphi} \left(1 - e^{-\frac{h_0 - h_w}{a} \cdot K_0 \cdot \tan \varphi} \right) e^{-\frac{h_w \cdot K_0 \cdot \tan \varphi}{a}} + \left(q_0 e^{-\frac{h_0 - h_w}{a} \cdot K_0 \cdot \tan \varphi} \right) e^{-\frac{h_w \cdot K_0 \cdot \tan \varphi}{a}} \quad (7)$$

در این روابط c چسبندگی خاک، φ زاویه اصطکاک داخلی خاک، h_0 روباره خاک، h_w ارتفاع آب زیرزمینی، a طول سست‌شدگی، q_0 بار سطحی و σ_v فشار قائم مؤثر در قسمت خشک و آبدار وارد گوه است. برای محاسبه فشار جانبی مؤثر خاک لازم است که وزن سیلو، وزن گوه، نیروی چسبندگی و نیروی برشی را از روابط (۸) تا (۱۲) به دست آورده و مقدار حاصله را در رابطه (۱۳) جاگذاری کرده تا نیروی مؤثر جانبی خاک به دست می‌آید. مقدار فشار مؤثر جانبی خاک از نیروی مؤثر جانبی خاک به دست می‌آید و با افزودن آن به فشار آب، فشار کل وارد گوه بر سینه‌کار به دست می‌آید.

$$G_s = B \cdot D \cdot \cot \theta \cdot \sigma'_v \quad (8)$$

$$G_w = \frac{B \cdot D^2 \cdot \gamma' \cdot \cot \theta}{2} \quad (9)$$

$$K = \frac{B \cdot D \cdot c}{\sin \theta} \quad (10)$$



شکل (۴): مدل چند گوهای [2].

این قطعه‌ها هر کدام ممکن است ضخامت متفاوتی داشته باشند. به هر حال، هر کدام از قطعه‌ها همگن فرض می‌شوند و با توجه با این شرایط زاویه گوه θ_i بین قطعه i صفحه گسیختگی و صفحه افقی تعریف می‌شود. زاویه شکست هر گوه با سعی و خطأ به اندازه ای در نظر گرفته می‌شود که ببیشترین نیروی خاک در حالت شکست به دست آید. هر قطعه در نتیجه نیروهایی از قطعه بالا (۱-۰) و قطعه پایین (۰+۱) یعنی به ترتیب $Q_a^{(i)}$ و $Q_b^{(i)}$ ، وزن مؤثر گوه $G_w^{(i)}$ و نیروی رویاره $G_s^{(i)}$ را تحمل می‌نماید. در صفحات شکست مایل، نیروی چسبندگی $k^{(i)}$ موازی با سطح و نیروی اصطکاک $R^{(i)}$ که ناشی از نیروی عمودی $N^{(i)}$ بر سطح شکست عمل می‌کنند. فرض می‌شود بر سطوح جانبی هر گوه نیروی برشی $T^{(i)}$ اعمال می‌شود، که در همان جهت $K^{(i)}$ ، در خلاف جهت تغییر شکل گوه اعمال شود. تعادل نیروها وقتی حاصل می‌شود که نیروی مؤثر خاک $E^{(i)}$ در سطحی که با نیروی آب $W^{(i)}$ جمع می‌شود، معادل نیروی نگهداری $S^{(i)}$ گردد. نیروی مؤثر خاک از رابطه (۲۰) به دست می‌آید. از تقسیم نیروی مؤثر خاک بر مساحت توپل، فشار مؤثر خاک مطابق رابطه به دست می‌آید.

$$E = -\frac{\zeta'_-}{\zeta'_+} \left[G_S + G_W + \sum_{i=1}^N \frac{1}{\zeta'_-} (2T^{(i)} + K^{(i)}) \right] \quad (20)$$

$$\frac{\zeta'_-}{\zeta'_+} = \frac{1}{N} \sum_{i=1}^N \frac{\zeta'_+}{\zeta'_-} \quad (21)$$

$$\zeta'_- = \cos \theta^{(i)} \tan \varphi^{(i)} - \sin \theta^{(i)} \quad (22)$$

$$\zeta'_+ = \sin \theta^{(i)} \tan \varphi^{(i)} + \cos \theta^{(i)} \quad (23)$$

$$S = E + W \quad (24)$$

در کاربرد روش‌های سه بعدی جانسکر و برویر طول سست‌شدگی از نسبت مساحت سیلو به محیط آن مطابق رابطه (۲۵) به دست می‌آید.

$$a = B * D \cdot \cot \theta / 2(B + D \cdot \cot \theta) \quad (25)$$

در محاسبات دو بعدی این طول نصف عرض گوه در نظر گرفته می‌شود و عرض گوه در محاسبات پایداری سینه‌کار برابر قطر توپل در

جدول (۱): مقادیر مختلف ضرایب فشار جانی [۵].

K_{silo}	K_{wedge}	ارائه دهنده
۰/۸	۰/۴	آنگونستا و کواری
۱	*	میر و همکاران
۰/۷-۱/۵	۰/۴-۰/۵	جرمسکید
$1 - \sin \varphi$	$1 - \sin \varphi$	کرش و کولمباس

برای محاسبات فشار کل خاک ضرایب اینمی مختلفی برای خاک و آب ارائه شده، که در جدول (۲) آمده است.

$$S = \eta_E E + \eta_W W \quad (19)$$

در این رابطه η_E ضریب اینمی خاک و η_W ضریب اینمی آب است.

جدول (۲): ضرایب اینمی پیشنهادی برای فشارهای خاک و آب [۲].

η_W	η_E	منابع
۱	۱/۱-۱/۳	بالتس
۱/۰۵	$\geq ۱/۵ - ۱/۷۵$	جانسکر
۱/۰۵	۱/۵	برویر
۱/۰۵	۱/۷	میدل و کورد
۱/۰۵	۱/۵	Heinenord Tunnel Design
۱/۰۵	۱/۷	Botlek tunnel Design

۳-۲- روش تحلیلی برویر^۲

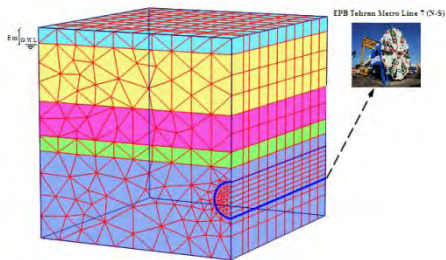
مدل پایداری گوه یک روش تعادل حدی است که اساس آن از روش سیلو و گوه گرفته شده است. اولین مسئله در روش سیلو و گوه این است که خاک در آن همگن فرض می‌شود که این مسئله با در نظر گرفتن لایه‌های غیرهمگن خاک در روش برویر برطرف شده است. دومین مسئله انتقال نیروی نگهداری روی اسکلت خاک است که در مدل جانسکر و کواری تمام نیروی نگهداری روی گوه مؤثر فرض می‌شدن و سینه‌کار نشت‌ناپذیر یا آب‌بند فرض می‌شود. اگر از دوغاب بنتونیت برای نگهداری سینه‌کار استفاده شود، بنتونیت تا یک طول مشخصی قبل از تشکیل کیک فیلتر نفوذ می‌کند که این مسئله تنها در زمان توقف اهمیت دارد. سومین مسئله با در نظر گرفتن قوس خاک، برآورده دقیق‌تری از کمترین فشار نگهداری حاصل می‌شود. در روش‌های جانسکر و کواری از اثر قوس صرف نظر می‌شود در نتیجه مقدار بزرگتری از کمترین فشار نگهداری حاصل می‌شود. در مدل گوه و سیلوی برویر مطابق شکل (۴) گوی شکستگی به N قطعه کوچکتر به صورت افقی تقسیم شده است.

²Broere

شده است. در مدلسازی از مشخصات ماشین حفاری متروی تورین ایتالیا به خاطر تشابه مشخصاتی با ماشین حفاری خط هفت متروی تهران استفاده شده است.



شکل(۶): نمایی از مسیر احداث خط هفت متروی تهران [۱].



شکل(۷): مشبندی سه بعدی در موقعیت ۷۰۰+۲۰۰-۳۰۰+۲۱.

جدول (۳): پارامترهای طراحی خاک در خط هفت متروی تهران [۱].

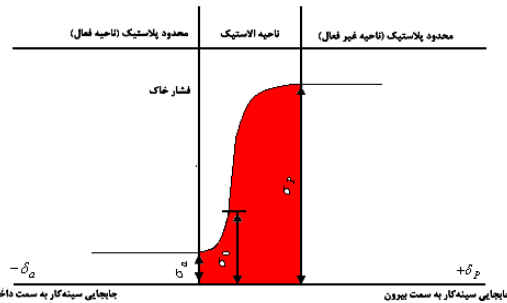
ضریب پواسون	مدول الاستیک	پارامترهای مکانیکی خاک	پارامترهای فیزیکی خاک	طبقه-بندی خاک
v	E_t (MPa)	ρ' (deg) c' (kPa)	γ_d (kN/m³) γ_t (kN/m³)	
۰/۲۷	۱۰۰	۳۸ ۲۰	۱۷ ۱۹	شن
۰/۲۷	۸۰	۳۵ ۳۰	۱۷ ۱۹	ماسه
۰/۳	۵۰	۳۰ ۳۰	۱۷ ۱۹	سیلت
۰/۳۵	۳۰	۲۷ ۴۰	۱۷ ۱۹	رس

جدول (۴): خصوصیات ماشین EPB ساخت شرکت Lovat [۹].

واحد	مقدار	علامت	EPB پارامترهای ماشین
-	الاستیک	نوع مواد	خصوصیات
MN/m	۱۲۶۰۰	EA	صلبیت محوری
MN m²/m	۸۵	EI	صلبیت خمی
m	۰.۲۸۵	d	ضخامت
kN/m/m	۵۰.۷۷	w	وزن
-	۰.۰۰	v	نسبت پواسون

برای بررسی پایداری سینه کار و برآورد فشار نگهداری دو فاز محاسباتی در نرم افزار تعریف می شود. فاز اول جابجایی ناشی از مخروطی بودن انتهای ماشین را نشان می دهد. همچنین فاز دوم کاهش فشار سینه کار را نشان می دهد. آنالیز ایمنی با کاهش پارامترهای مکانیکی خاک می توان به کار گرفته شود.

نظر گرفته می شود. بنابراین سه فشار مختلف با توجه به طول سست شدگی (الف) بدون قوس خاک ($a = \infty$)، ب) قوس دو بعدی ($a = R/1 + \tan \theta$) و پ) قوس سه بعدی ($a = R$) به دست می آید. برای تولزه کار که بتواند کمترین تغییر شکل در سینه کار را تخمین زده و پایداری آن را تأمین نماید، مطلوب است. فشار استاتیکی مطابق شکل (۵) باید بین فشار فعلی و غیرفعال باشد [۶].



شکل(۵): تغییرات فشار جانبی خاک در مقابل جابجایی سینه کار [۶].

۳- روش عددی

روش المان محدود برای تحلیل سازه ها در محیط های پیوسته کاربرد دارد. در این روش محیط پیوسته واقعی به صورت مجموعه ای مرکب از تقسیمات کوچکتر بنام المان (اجزاء) نمایش داده می شود. هر المان توسط گره های اطراف خود تعریف می شود که ارتباط المان های مجاور از طریق گره های مشترک می باشد.

نرم افزار PLAXIS 3D TUNNEL (v.1.2) یک برنامه المان محدود برای تحلیل سه بعدی تغییر شکل و پایداری تولزه کار که برای مدل سازی عددی استفاده شده است.

۴- مطالعه موردنی

قطعه شمالی - جنوبی خط هفت متروی تهران به وسیله ماشین حفاری EPB به طول ۱۰/۵ متر، قطر ۹/۱۴ متر و طول کلی ۹۰ متر نشان می دهد. شکل (۶) مسیر احداث خط هفت متروی تهران را نشان می دهد. در موقعیت ۲۰۰+۹۰۰-۲۰۰+۸۰۰ تونل زیر سطح آب زیرزمینی قرار دارد. با توجه به اطلاعات اکتشافی، خاک در محدوده ۰/۱۵ متر (لایه دوم)، ۹ متر (لایه سوم)، ۴ متر (لایه چهارم) و ۱۸ متر (لایه اول)، هندسه سه بعدی مدل مطابق شکل (۷) با اعمال پنجم) می باشد. هندسه سه بعدی مدل مطابق شکل (۷) با اعمال ۵۰ مش بندی (مثلثی - ۱۵ گرهی) در نرم افزار PLAXIS با طول ۵۰ و عرض ۵۰ متر و امتداد ۶۰ درجه محور Z در نظر گرفته شده است. سطح آب زیرزمینی در پهنه مورد مطالعه در عمق ۵ متری از سطح زمین است.

پارامترهای طراحی خاک در خط هفت متروی تهران در جدول (۳) و خصوصیات ماشین EPB ساخت شرکت Lovat در جدول (۴) آورده

۱-۴- نتایج خروجی

۲-۴- مقایسه نتایج تحلیلی و عددی در موقعیت ۲۰۰+۸۰۰ تا

۲۰۰+۹۰۰

مقایسه نتایج عددی با روش‌های تجربی و تحلیلی در جدول (۵) نشان می‌دهد که در این مناطق فشار محاسبه شده به روش عددی با فشار روش‌های تحلیلی همخوانی بیشتر دارد.

جدول (۵): مقایسه نتایج عددی با روش‌های تجربی و تحلیلی در موقعیت ۲۰۰+۸۰۰ تا ۲۰۰+۹۰۰

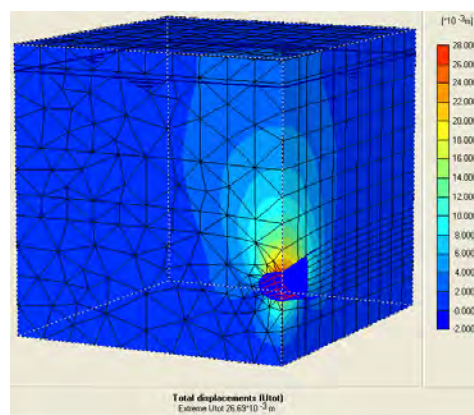
فشار نگهداری سینه کار در تاج توپل (کیلو پاسکال)									
ردیف	پارامتر (آفتابی)	۲۰۰	۲۰۰	۲۰۰	۲۰۰	۲۰۰	۲۰۰	۲۰۰	۲۰۰
۳۱۳	333	313	333	333	333	333	313	343	حداقل فشار
	323	333	323	323	323	323	333	363	حداقل فشار با دامنه تغییرات

۳-۴- مقایسه روش‌های تحلیلی و عددی

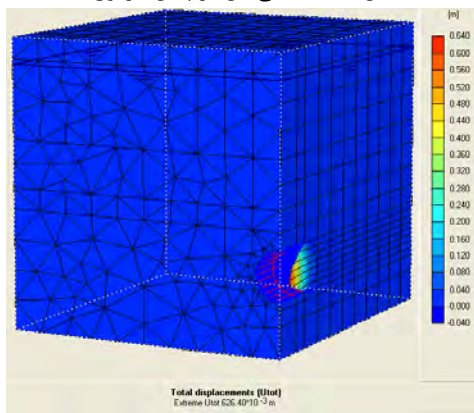
با توجه به شرایط تغییرات ژئوتکنیکی زمین در مسیر احداث خط هفت متروی تهران، در این بخش تأثیر تغییر پارامترهای مکانیکی خاک بر مقدار فشار نگهداری بررسی شده است. در ابتدا مطالعه بر روی خاک‌های دانه‌ای با زاویه اصطکاک ۳۰ تا ۴۵ درجه با مدول یانگ ۳۰ مگاپاسکال، ضریب پواسون ۰/۳ و چسبندگی صفر انجام گرفته که نتایج مقایسه روش‌های تحلیلی برای نسبت ارتفاع روبراه (C) به قطر توپل (D)، ۲ و ۳ در شکل‌های (۱۱) تا (۱۳) نشان داده شده است. برای C=D و اصطکاک کوچکتر از ۳۵ درجه نتایج کواری با روش عددی تطابق خوبی دارد. با افزایش اصطکاک روش کرش نتایج حاصل از کاربرد روش کرش با روش عددی نزدیک‌تر است. نتایج روش جانسکر با توجه به در نظر گرفتن ضریب اینمی ۱/۵ تا ۱/۷۵ همواره در مقایسه با سایر روش‌ها مقادیر بیشتری را برآورد می‌کند. جمع‌بندی نتایج حاصل از مقایسه روش عددی با روش‌های تحلیلی و برای خاک‌های مذکور در جدول (۶) آمده است.

در این جدول علامت H، L و E بترتیب بیانگر آن است که فشار برآورده شده با روش عددی در مقایسه با روش‌های تحلیلی بزرگتر، کوچکتر و مساوی است.

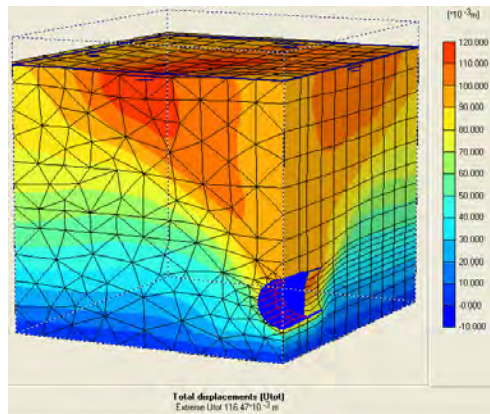
در شکل (۸) جابجایی کل در پایان فاز اول را نشان می‌دهد، که بیانگر آن است که فشار سینه کار به اندازه کافی برای پایداری سینه-کار بزرگ است. بیشترین تغییر شکل در انتهای ماشین اتفاق می‌افتد، که دلیل آن ناشی از انقباض خاک است. فاز دوم و سوم بیانگر نشست در سینه کار می‌باشند. شکل (۹) مربوط به فاز دوم (کاهش فشار سینه کار) جابجایی خاک به داخل سینه کار را نشان می‌دهد که کمتر از ۰/۵ سانتی‌متر است. شکل (۱۰) فاز سوم (کاهش Phi-c) مکانیزم گسیختگی تا سطح زمین را نشان می‌دهد.



شکل (۸): جابجایی کل در پایان فاز اول.

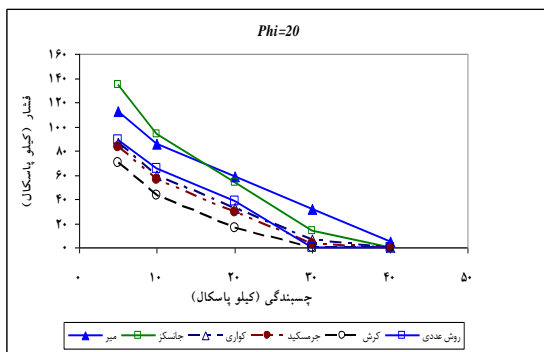


شکل (۹): جابجایی کل در پایان فاز دوم (کاهش فشار سینه کار).

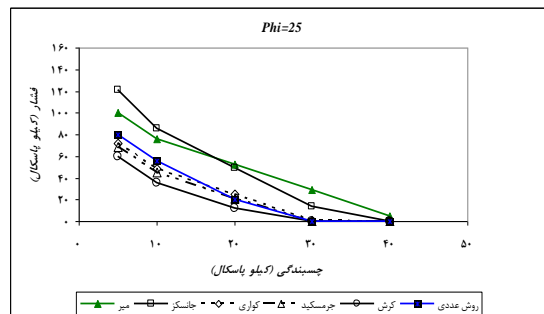


شکل (۱۰): جابجایی کل در پایان فاز سوم (کاهش Phi-c).

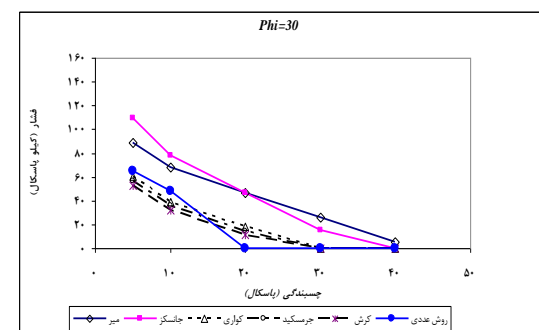
نهایت جمع‌بندی تغییرات فشار برای $C=2D$ و $C=3D$ در جدول (۷) آمده است. فشار نگهداری به روش جانسکر با اعمال ضربی ایمنی ۱/۵ برای خاک در این نواحی محاسبه شده که برای چسبندگی کمتر از ۲۰ کیلو پاسکال روش جانسکر فشار بیشتر را نسبت به روش میر برآورد می‌کند. برای چسبندگی بزرگتر از ۲۰ کیلو پاسکال روش میر فشار بیشتر را نسبت به روش جانسکر برآورد می‌کند. در تمام عمق‌ها نواحی خشک فشار میر و جانسکر از فشار عددی بیشتر است. برای چسبندگی بیشتر از ۳۰ کیلو پاسکال فشار محاسبه شده به روش عددی صفر در مناطق با $C=D$ برابر صفر است. که این فشار در روش‌های تحلیلی برای چسبندگی بیشتر از ۴۰ کیلو پاسکال در این مناطق صفر است.



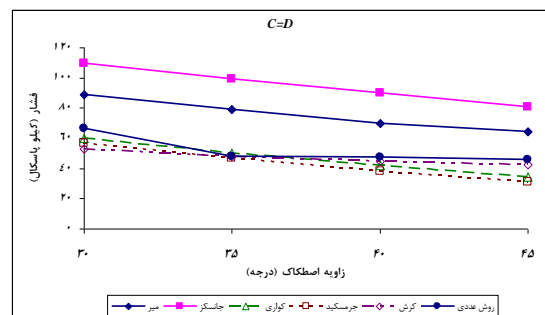
شکل (۱۴): مقایسه فشار تحلیلی و عددی با $C=D$ و $\Phi=20$



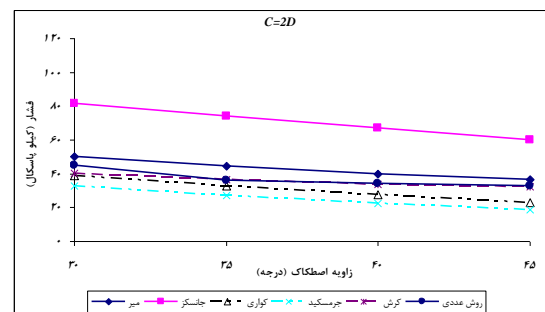
شکل (۱۵): مقایسه فشار تحلیلی و عددی با $C=D$ و $\Phi=25$



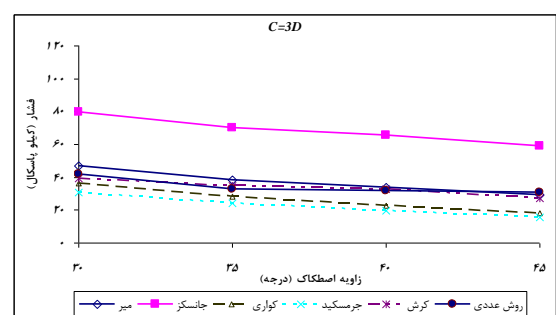
شکل (۱۶): مقایسه فشار تحلیلی و عددی با $C=D$ و $\Phi=30$



شکل (۱۱): مقایسه فشار تحلیلی و عددی در مناطق خشک با $C=D$



شکل (۱۲): مقایسه فشار تحلیلی و عددی در مناطق خشک با $C=2D$



شکل (۱۳): مقایسه فشار تحلیلی و عددی در مناطق خشک با $C=3D$

جدول (۶): مقایسه روش عددی با روش‌های تحلیلی برای خاک‌های غیر چسبنده

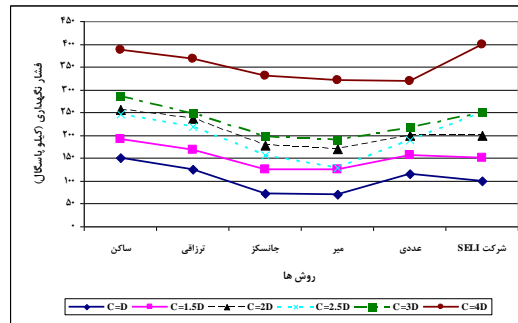
روش‌ها پارامترها	میر				جانسکر				کواری				جرمسکید				کرس			
	φ	σ	δ	γ																
۱	L	L	E	E	L	L	L	H	E	H	H	H	H	H	H	H	H	H	H	H
۲	L	L	L	L	L	L	L	H	H	H	H	H	H	H	H	H	H	H	H	H
۳	L	L	L	E	L	L	L	H	H	H	H	H	H	H	H	H	L	L	H	H

بررسی اثر چسبندگی خاک بر فشار وارد بر سینه‌کار نیز حالت‌های مختلفی برحسب روباره به قطر تونل بررسی شده است. تغییرات فشار در خاک‌های چسبنده با چسبندگی ۵، ۱۰، ۲۰، ۳۰ و ۴۰ کیلو پاسکال و اصطکاک ۲۰، ۲۵، ۳۰ و ۳۵ در خط هفت متروی تهران برای $C=D$ در شکل‌های (۱۴) تا (۱۷) نشان داده شده است. در

پارامترهای بیشتری از خاک مثل مدول الاستیک و ضریب پواسون، همگنی یا ناهمگنی خاک، خصوصیات ماشین حفاری، مواد بهسازی، بررسی نشت سینه کار و زمین و نشت آب تحلیل صحیح‌تر و منطقی‌تری از پایداری سینه کار نسبت به روش‌های تحلیلی و تجربی دارد. فشار محاسباتی شرکت SELI ایتالیا در مناطق آبدار برای دارد. فشار محاسباتی شرکت SELI ایتالیا در مناطق آبدار برای $C \geq 2.5D$ نسبت به روش‌های عددی و ترازاقی، بیشتر برآورده شده که این فشار تقریباً با فشار استاتیکی برابر است. با توجه به نتایج روش عددی می‌توان برای مناطق $C \geq 3D$ ، فقط فشار آب را با در نظر گرفتن ۲۰ کیلو پاسکال دامنه تغییرات به عنوان فشار سینه کار در روش‌های تحلیلی استفاده کرد. در مجموع فشار در مناطق آبدار قطعه شمالی-جنوبی خط هفت هفت متروی تهران بین ۱۰۰ کیلو پاسکال تا ۴۰۰ کیلو پاسکال تغییر می‌کند. شکل (۱۸) فشار نگهداری در عمق‌های مختلف مناطق آبدار خط هفت هفت متروی تهران را نشان می‌دهد.

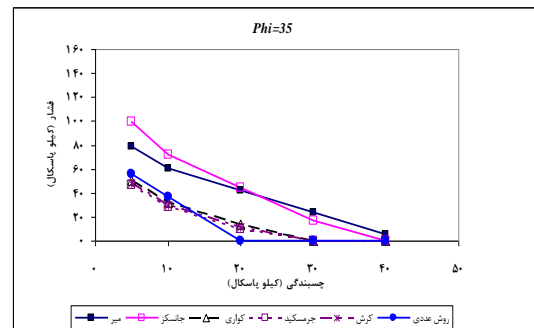
جدول (۸): مقایسه فشار در مناطق آبدار خط هفت هفت متروی تهران.

فشار نگهداری سینه کار (کیلو پاسکال)							مشخصات هندسی
شرکت SELI	عددی	بروبیر	جانسکر	میر	ترازاقی	فشار ساکن	
۱۰۰	۱۱۴/۵	۷۲/۵	۷۲/۵	۷۰	۱۲۴/۸	۱۵۱	$C = D$
۱۵۰	۱۵۶/۱	۱۲۵	۱۲۵	۱۲۰	۱۶۸/۵	۱۹۱/۶	$C = 1.5D$
۲۰۰	۱۹۹/۹	۱۷۷/۵	۱۷۷/۵	۱۷۰	۲۳۷/۵	۲۵۵/۷	$C = 2D$
۲۵۰	۱۹۰	۱۵۶/۵	۱۵۶/۵	۱۳۰	۲۱۹	۲۴۶	$C = 2.5D$
۲۵۰	۲۱۷	۱۹۸/۵	۱۹۸/۵	۱۹۰	۲۵۸/۲	۲۸۵/۵	$C = 3D$
۴۰۰	۳۳۶	۲۳۱/۵	۳۳۱/۵	۳۲۰	۳۶۸	۳۸۶/۸	$C = 4D$



شکل (۱۸): فشار نگهداری در عمق‌های مختلف مناطق آبدار خط هفت هفت متروی تهران.

مطابق نتایج بدست آمده در بین روش‌های تحلیلی-تجربی و عددی با توجه به وضعیت روباره و ارتفاع آب، فشار استاتیکی همیشه ایمن‌ترین فشار در مناطق آبدار است. در بین فشارهای فرونشست، فشار محاسبه شده به روش ترازاقی فشار بیشتر و ایمن‌تری را نسبت به سایر روش‌ها برآورده می‌کند. روش عددی با در نظر گیری پارامترهای بیشتری از خاک مثل مدول الاستیک و ضریب پواسون، همگنی یا ناهمگنی خاک، خصوصیات ماشین حفاری، مواد بهسازی، بررسی نشت سینه کار و زمین و نشت آب تحلیل صحیح‌تر و



شکل (۱۷): مقایسه فشار تحلیلی و عددی با $C=D$ و $C=35$.

جدول (۷): مقایسه نتایج عددی با روش‌های تحلیلی در خاک چسبنده.

جانسکر و استاینر											
میر											
کواری و آنگوستا											
۱	L	L	L	L	L	L	L	L	L	L	L
۲	L	L	L	L	L	L	L	L	L	L	L
۳	L	L	L	L	L	L	L	L	L	L	L
جرمسکید											
۱	H	H	H	E	E	H	H	E	E	H	H
۲	H	H	H	H	H	H	H	H	H	H	H
۳	H	H	H	H	H	H	H	H	H	H	H
کرش											
۱	H	H	H	E	H	H	H	E	E	H	H
۲	H	H	H	H	H	H	H	H	H	H	H
۳	H	H	H	H	H	H	H	H	H	H	H

۴-۴- بررسی فشار در مناطق آبدار با روبارهای مختلف

فشار در مناطق آبدار خط هفت هفت متروی تهران با روبارهای $C = D$ با ارتفاع تقریبی ۵ متر آب، $C = 1.5D$ با ارتفاع تقریبی ۱۰ متر آب، $C = 2D$ با ارتفاع تقریبی ۱۵ متر آب، $C = 2.5D$ با ارتفاع تقریبی ۲۰ متر آب، $C = 3D$ با ارتفاع تقریبی ۲۵ متر آب و $C = 4D$ با ارتفاع تقریبی ۳۰ متر آب با روش‌های تحلیلی-تجربی و عددی مطابق جدول (۸) به دست آمده است.

مطابق نتایج بدست آمده در بین روش‌های تحلیلی-تجربی و عددی با توجه به وضعیت روباره و ارتفاع آب، فشار استاتیکی همیشه ایمن‌ترین فشار در مناطق آبدار است. در بین فشارهای فرونشست، فشار محاسبه شده به روش ترازاقی فشار بیشتر و ایمن‌تری را نسبت به سایر روش‌ها برآورده می‌کند. روش عددی با در نظر گیری

است. با توجه به اطلاعات ژئوتکنیکی کلی در منطقه و تغییرات شرایط خاک فشار مناسبی می‌باشد. فشار در مناطق آبدار با وضعیت ژئوتکنیکی و هیدرولوژی نامناسب ۳۲۰ تا ۳۷۰ کیلو پاسکال با روش‌های دو بعدی و سه بعدی برآورده شده و ۳۳۶ کیلو پاسکال با روش عددی برآورده شده که این فشار توسط شرکت پیمانکار (SELI) به میزان ۴۰۰ کیلو پاسکال برآورده است. فشار در این مناطق با اختیاط بیشتری برآورده شده است و این فشار با روش عددی محاسبه شده اختلاف قابل توجهی دارد. فشار محاسباتی شرکت SELI ایتالیا در مناطق آبدار برای $C \geq 2.5D$ نسبت به روش‌های عددی و ترزاقی، بیشتر برآورده شده که این فشار تقریباً با فشار استاتیکی برابر است. با توجه به نتایج روش

روش عددی برآورده شده که این فشار توسط شرکت پیمانکار (SELI) به میزان ۴۰۰ کیلو پاسکال برآورده شده است. فشار در این مناطق با اختیاط بیشتری برآورده شده است و این فشار با روش عددی محاسبه شده اختلاف قابل توجهی دارد. فشار محاسباتی شرکت SELI ایتالیا در مناطق آبدار برای $C \geq 2.5D$ نسبت به روش‌های عددی و ترزاقی، بیشتر برآورده شده که این فشار تقریباً با فشار استاتیکی برابر است. با توجه به نتایج روش

روش عددی برآورده شده که این فشار توسط شرکت پیمانکار (SELI) به میزان ۴۰۰ کیلو پاسکال برآورده شده است. فشار در این مناطق با اختیاط بیشتری برآورده شده است و این فشار با روش

عددی محاسبه شده اختلاف قابل توجهی دارد. فشار محاسباتی شرکت SELI ایتالیا در مناطق آبدار برای $C \geq 2.5D$ نسبت به روش-

های عددی و ترزاقی، بیشتر برآورده شده که این فشار تقریباً با فشار استاتیکی برابر است. با توجه به نتایج روش عددی می‌توان برای مناطق $C \geq 3D$ ، فقط فشار آب را با در نظر گرفتن ۲۰ کیلو پاسکال تعییر می‌کند. شکل (۱۸) فشار نگهداری در عمق‌های مختلف مناطق آبدار خط هفت متروی تهران را نشان می-

دهد.

منطقی تری از پایداری سینه‌کار نسب به روش‌های تحلیلی و تجربی دارد. فشار محاسباتی شرکت SELI ایتالیا در مناطق آبدار برای $C \geq 2.5D$ نسبت به روش‌های عددی و ترزاقی، بیشتر برآورده شده که این فشار تقریباً با فشار استاتیکی برابر است. با توجه به نتایج روش عددی می‌توان برای مناطق $C \geq 3D$ ، فقط فشار آب را با در نظر گرفتن ۲۰ کیلو پاسکال دامنه تغییرات به عنوان فشار سینه‌کار در روش‌های تحلیلی استفاده کرد. در مجموع فشار در مناطق آبدار قطعه شمالی-جنوبی خط هفت متروی تهران بین ۱۰۰ کیلو پاسکال تا ۴۰۰ کیلو پاسکال تعییر می‌کند. شکل (۱۸) فشار نگهداری در عمق‌های مختلف مناطق آبدار خط هفت متروی تهران را نشان می-

دهد.

۵- نتیجه و جمع‌بندی

با توجه به مطالب ذکر شده، روش‌های تحلیلی جانسکر و عددی روش‌های مناسبی برای محاسبه فشار در خط هفت متروی تهران

مراجع

- [۱] مهندسین مشاور زمین فن آوران؛ گزارشات زمین شناسی و ژئوتکنیکی خط هفت متروی تهران، ۱۳۸۶.
- [۲] Broere, W; *Tunnel Face Stability & New CPT Applications*, Delft University of Technology, 2001.
- [۳] ITA. ; *Guidelines for the Design of Shield Tunnel Lining*, International Tunnelling Association, Volume 15, Number 3, 2000.
- [۴] Jancsecz, S., Steiner W.; *Face support for a Large Mix-Shield in Heterogeneous Ground Conditions*, Tunneling 94, conf, proc, 1994.
- [۵] Kirsch, A.; *On the Face Stability of Shallow Tunnels in Sand*, logos Verlag Berlin GmbH, 2009.
- [۶] Russo, G.; *Evaluating the Required Face-Support Pressure in EPBS Advance Mode*, Gallerie e Grandi Opere Sotterranei , 2003.
- [۷] Terzaghi, K. ; *Theoretical Soil Mechanics*, John Wiley & Sons, 1934.
- [۸] Thewes, M. ; *Face Stability and Annular Grouting*, ITI/AITES-Training Course Tunnel Engineering,
- [۹] Toan, D. N.; *TBM and Lining Essential Interfaces*, Master thesis, Politecnico di Torino, 2006.